



Analyse exploratoire d'un graphe : le cas de la contamination par le VIH à Cuba

Fabrice Rossi

avec Stéphan Cléménçon, Hector De Arazoza, et Viet-Chi Tran

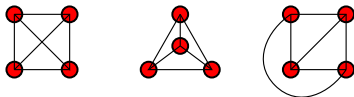
ANR Viroscopy (ANR-08-SYSC-016-03)

Télécom ParisTech, Universidad de la Habana,
and Université Lille 1

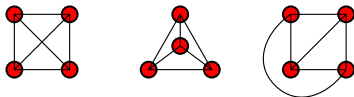
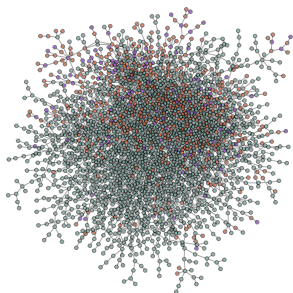
SMAI 2011

- données :
 - observations classiques :
 $(x_i)_{1 \leq i \leq N} \in \mathbb{R}^p$
 - graphe d'interaction : les x_i sont les sommets
- analyse exploratoire :
 - comprendre la structure du graphe
 - lier graphe et valeurs attachées aux sommets
- outil classique : visualisation de graphe

- données :
 - observations classiques :
 $(x_i)_{1 \leq i \leq N} \in \mathbb{R}^p$
 - graphe d'interaction : les x_i sont les sommets
- analyse exploratoire :
 - comprendre la structure du graphe
 - lier graphe et valeurs attachées aux sommets
- outil classique : visualisation de graphe, mais



- données :
 - observations classiques :
 $(x_i)_{1 \leq i \leq N} \in \mathbb{R}^p$
 - graphe d'interaction : les x_i sont les sommets
- analyse exploratoire :
 - comprendre la structure du graphe
 - lier graphe et valeurs attachées aux sommets
- outil classique : visualisation de graphe, mais

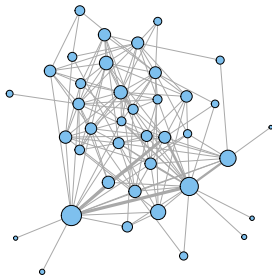
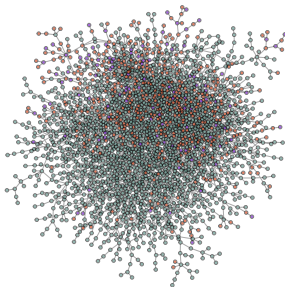




Visualisation hiérarchique

■ réduction de complexité :

- classification (hiérarchique) des sommets du graphe
- visualisation du graphe des classes



■ pertinence ?

- qualité de la classification
- lisibilité
- inférence

- classification des sommets d'un graphe :
 - domaine très étudié (détection de communautés)
 - dizaines de techniques
 - objectif ici : résumer la **structure** du graphe
- mesure de qualité
 - Modularité (Girvan et Newman, 2004) :

$$Q = \frac{1}{2m} \sum_{l=1}^L \sum_{i,j \in C_l} \left(w_{ij} - \frac{k_i k_j}{2m} \right)$$

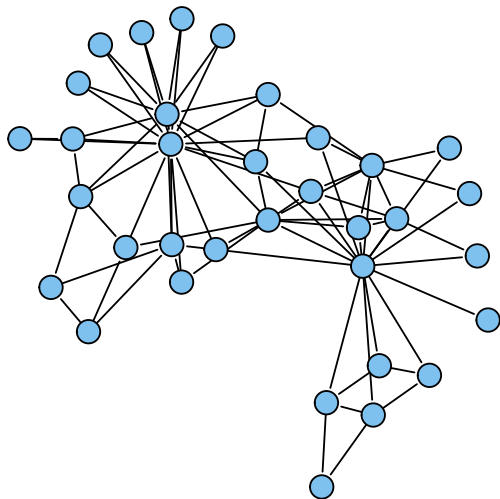
- + favorise les classes denses
- + gère correctement les sommets de haut degré
- + nombre de classes « optimal »
- + adapté à la visualisation (Noack, 2009)
 - optimisation NP difficile
 - résolution limitée
 - sensible au « bruit »

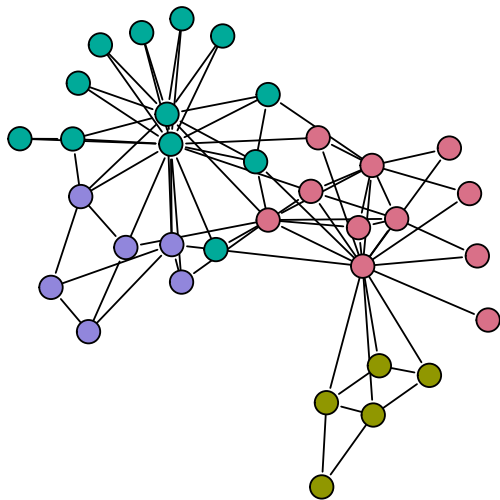
- algorithmes de maximisation
 - méthodes gloutonnes
 - fusion de classes et raffinement (échange de sommets)
 - trouvent toujours une classification...
 - valeur de la modularité peu informative

- algorithmes de maximisation
 - méthodes gloutonnes
 - fusion de classes et raffinement (échange de sommets)
 - trouvent toujours une classification...
 - valeur de la modularité peu informative
- test sur la modularité :
 - graphe aléatoire (sans structure)
 - classification \Rightarrow modularité
 - niveau « ambiant » de modularité : *p-value* de la modularité sur le graphe étudié



Exemple

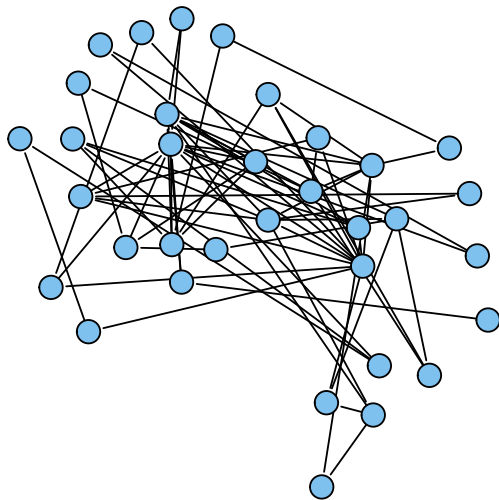




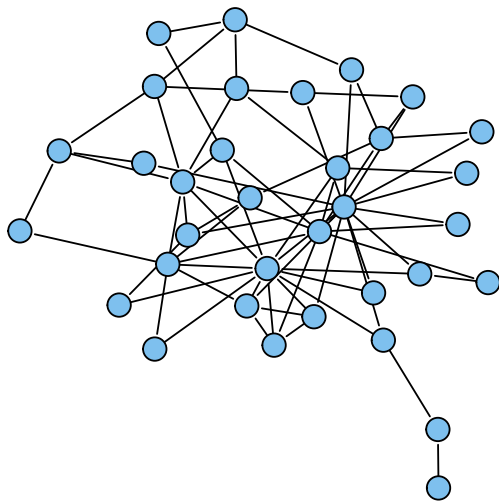
4 classes, modularité $\simeq 0.42$



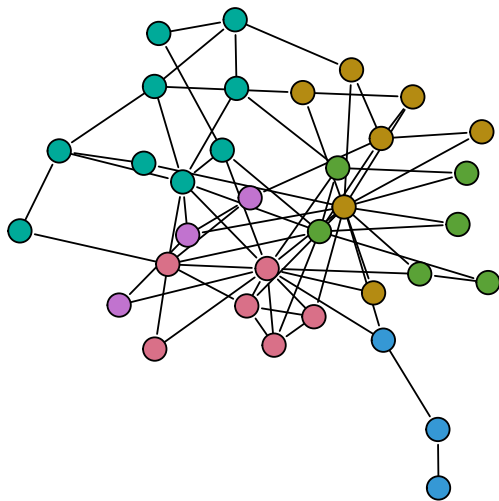
Exemple



Modèle de configuration : mêmes degrés



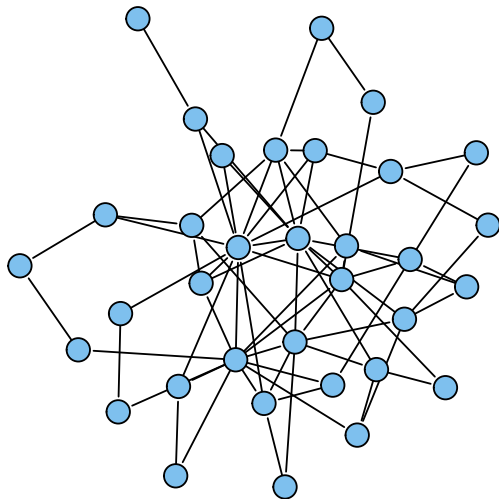
Repositionné



6 classes, modularité $\simeq 0.35$



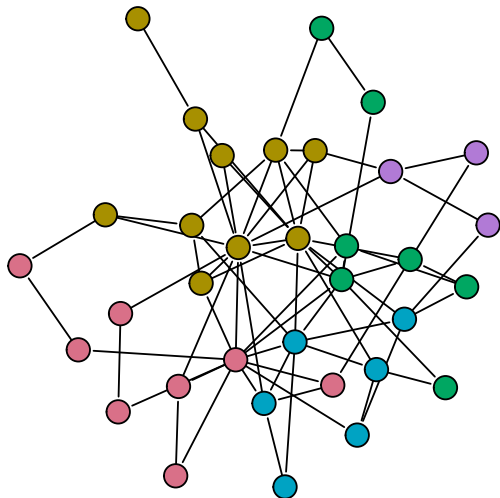
Exemple



Nouveau tirage



Exemple

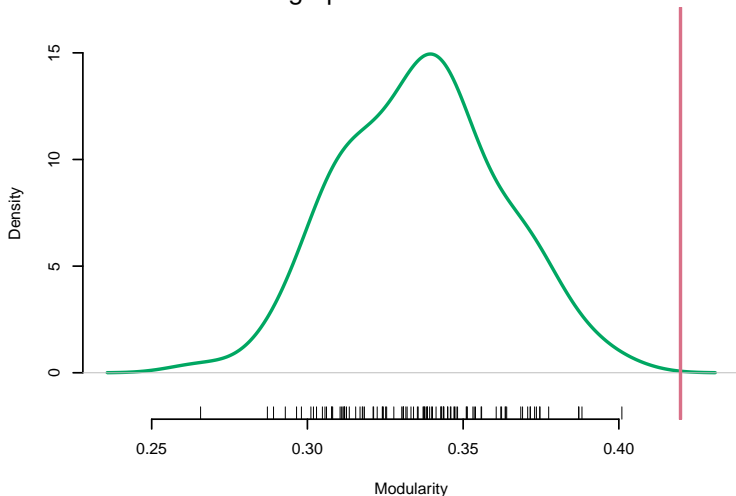


5 classes, modularité $\simeq 0.34$



Exemple

100 graphes aléatoires



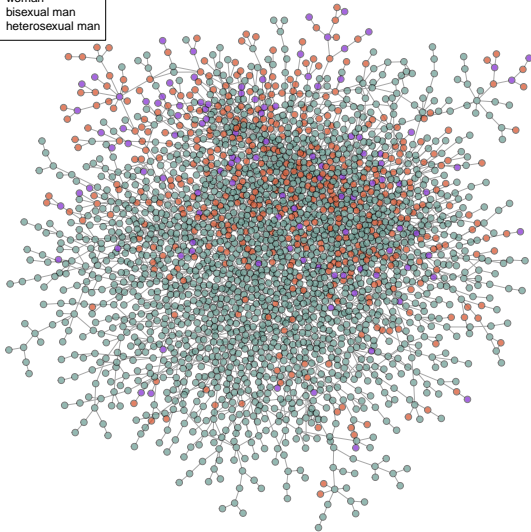
la classification sur le graphe d'origine a un sens

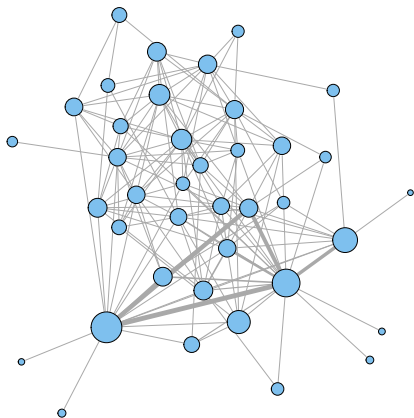
- suivi du VIH/SIDA à Cuba de 1986 à 2004
- suivi d'infection étendu : on demande à chaque nouveau patient d'identifier ses partenaires sexuels durant les deux années avant sa détection
- base de données volumineuse :
 - 5 389 patients décrits par diverses variables (genre, orientation sexuelle, date de naissance, etc.)
 - 4 073 relations (graphe assez peu dense)
 - 2 386 patients dans une même composante connexe du graphe (3 168 relations dans cette composante)
- objectifs de l'analyse :
 - structure de l'épidémie
 - prévention



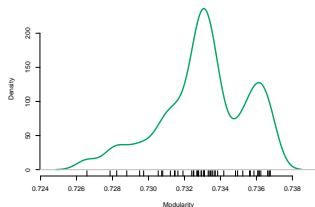
Composante connexe principale

- woman
- bisexual man
- heterosexual man





- ⇒ 39 classes (89.5% des liens internes aux classes)
- ⇒ modularité $\simeq 0.85$

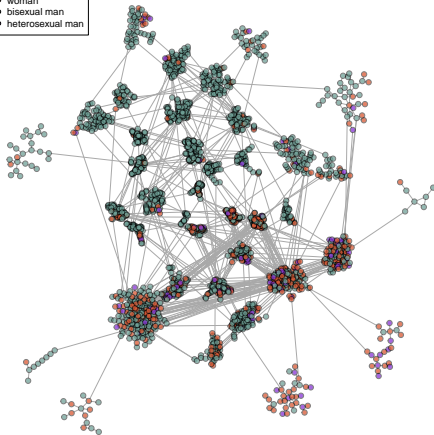


- ⇒ modularité « aléatoire »
 ≤ 0.74

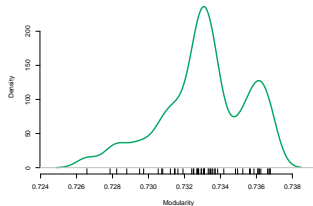


Classification

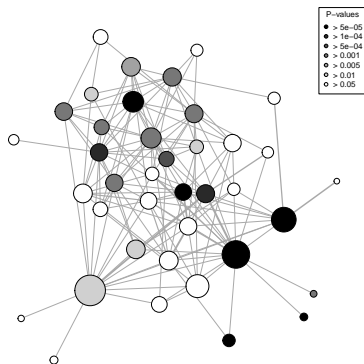
- woman
- bisexual man
- heterosexual man



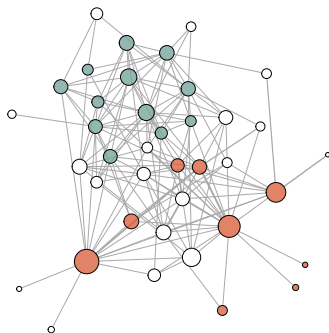
- ⇒ 39 classes (89.5% des liens internes aux classes)
- ⇒ modularité $\simeq 0.85$



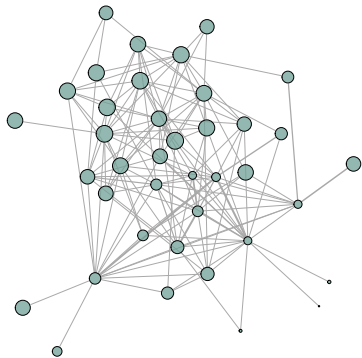
- ⇒ modularité « aléatoire » ≤ 0.74
- ⇒ visualisation hiérarchique de l'orientation sexuelle



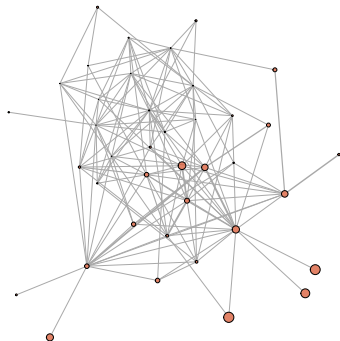
p-value d'un test du χ^2 sur la distribution de l'orientation sexuelle



orientation sexuelle atypique



Hommes homosexuels

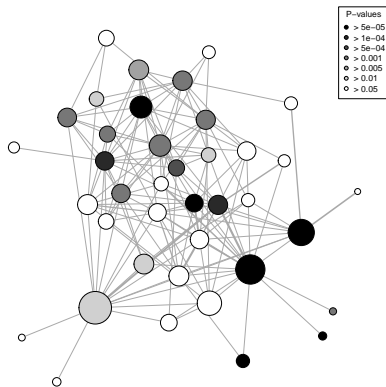


Femmes

Pourcentages

- moins de détails :
 - poursuite de l'algorithme glouton de classification
 - fusion de classes (contrainte hiérarchique)
 - visualisation barycentrique
 - maintient de la modularité au dessus du seuil aléatoire

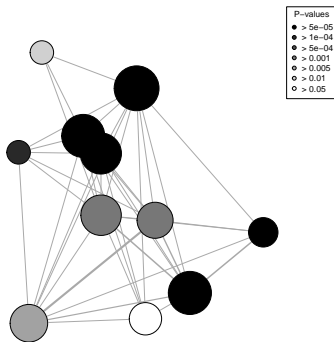
- plus de détails :
 - classification des classes
 - liens externes supprimés
 - pas de sous-classes non significatives
 - maintient de la modularité globale au dessus du seuil aléatoire



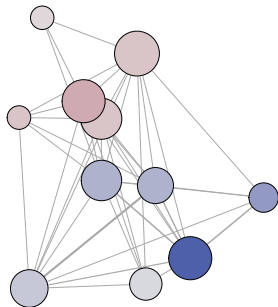
p-value



Simplification

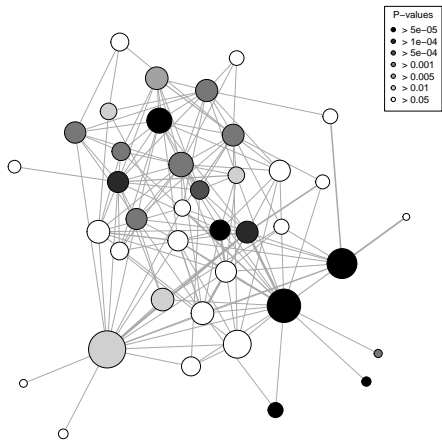


p-value



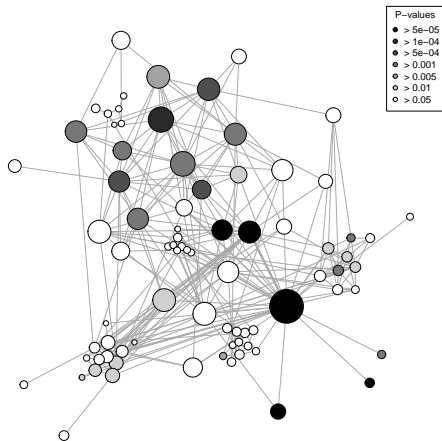
résidus de *Pearson*

Confirme la structure en deux parties

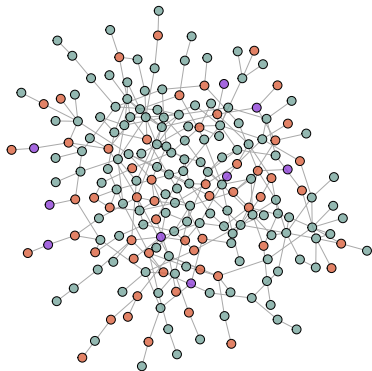


⇒ 5 classes possèdent une sous structure

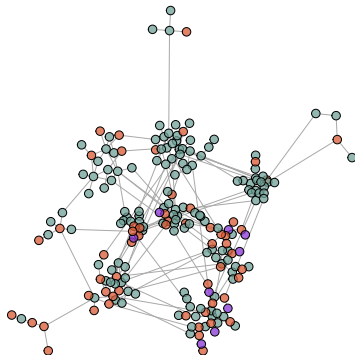
⇒ la modularité se maintient au dessus de 0.81



- ⇒ 5 classes possèdent une sous structure
- ⇒ la modularité se maintient au dessus de 0.81
- ⇒ sous structures atypiques



Visualisation classique

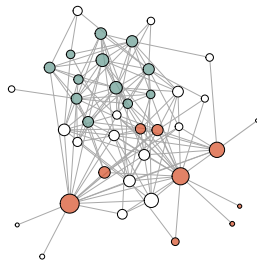
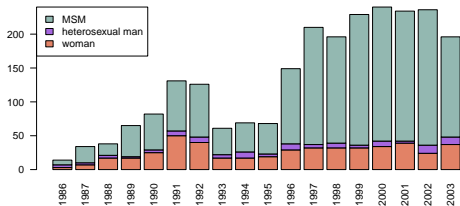


Visualisation hiérarchique



Aspect temporel

Recrutement annuel

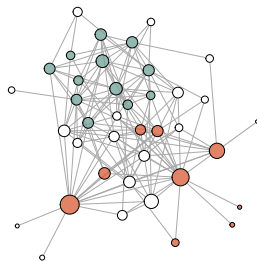
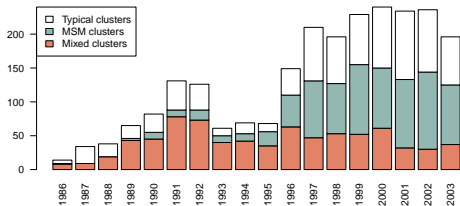


Pas de prise en compte explicite du temps, mais connexions « datées »



Aspect temporel

Recrutement annuel



Pas de prise en compte explicite du temps, mais connexions « datées »



- exploration visuelle de données relationnelles :
 - classification
 - rendu hiérarchique avec simplification ou détails
 - classes significatives
 - statistique graphique

- perspectives :
 - aspect temporel explicite
 - graphes bipartis
 - autres critères
 - ...